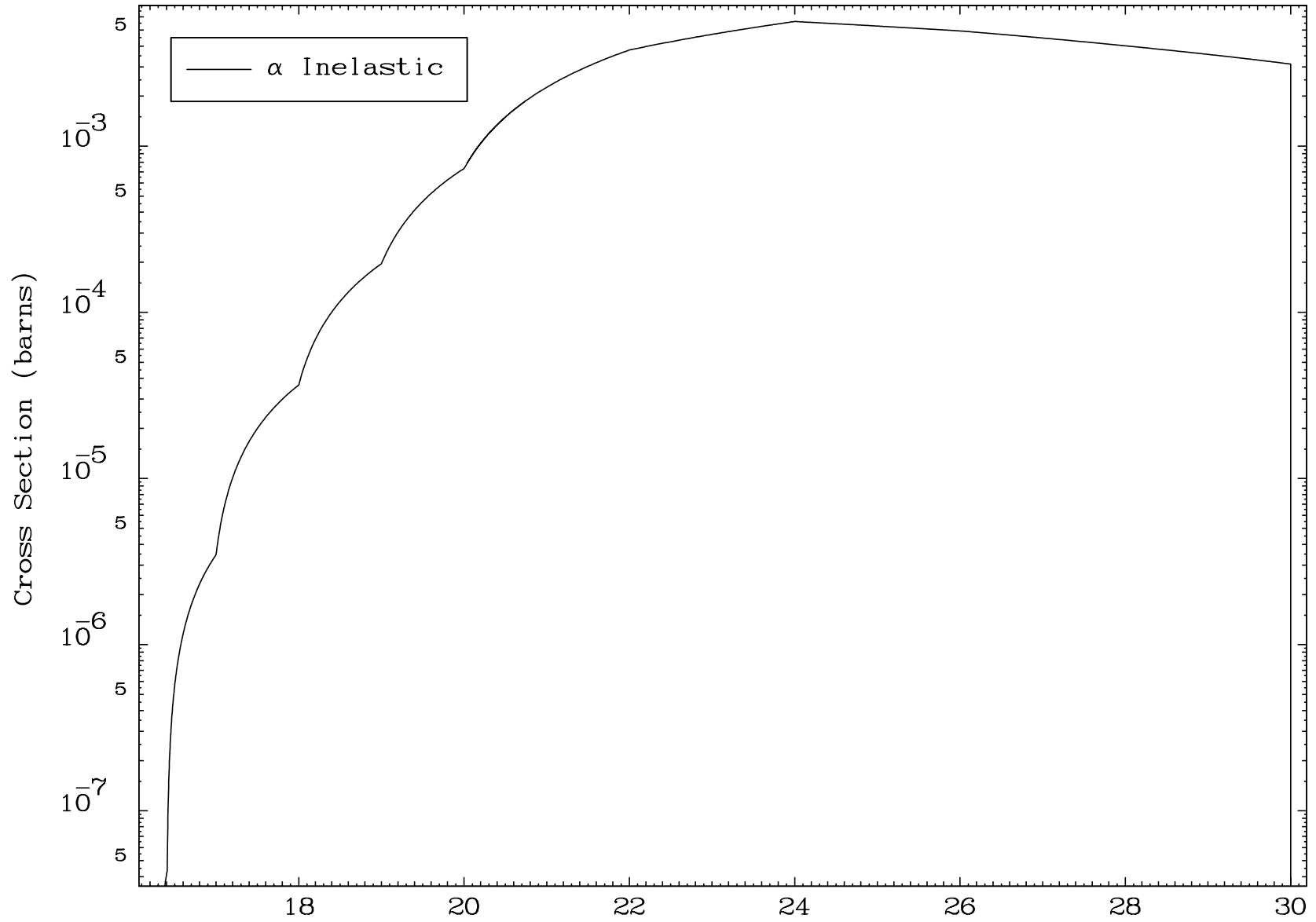


MAT 7862

(α, n') Level
0 Kelvin Cross Sections

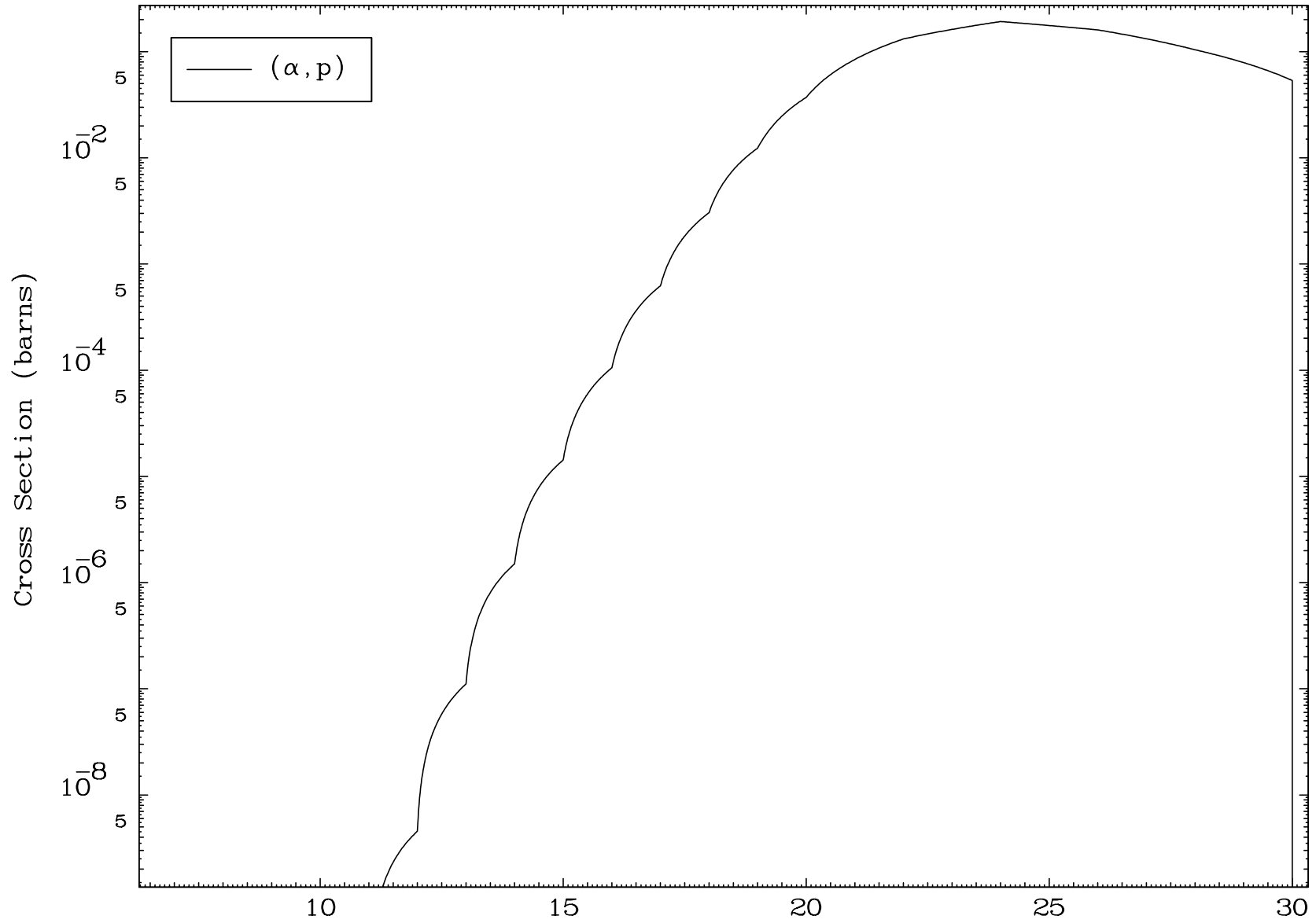
79-Au-176

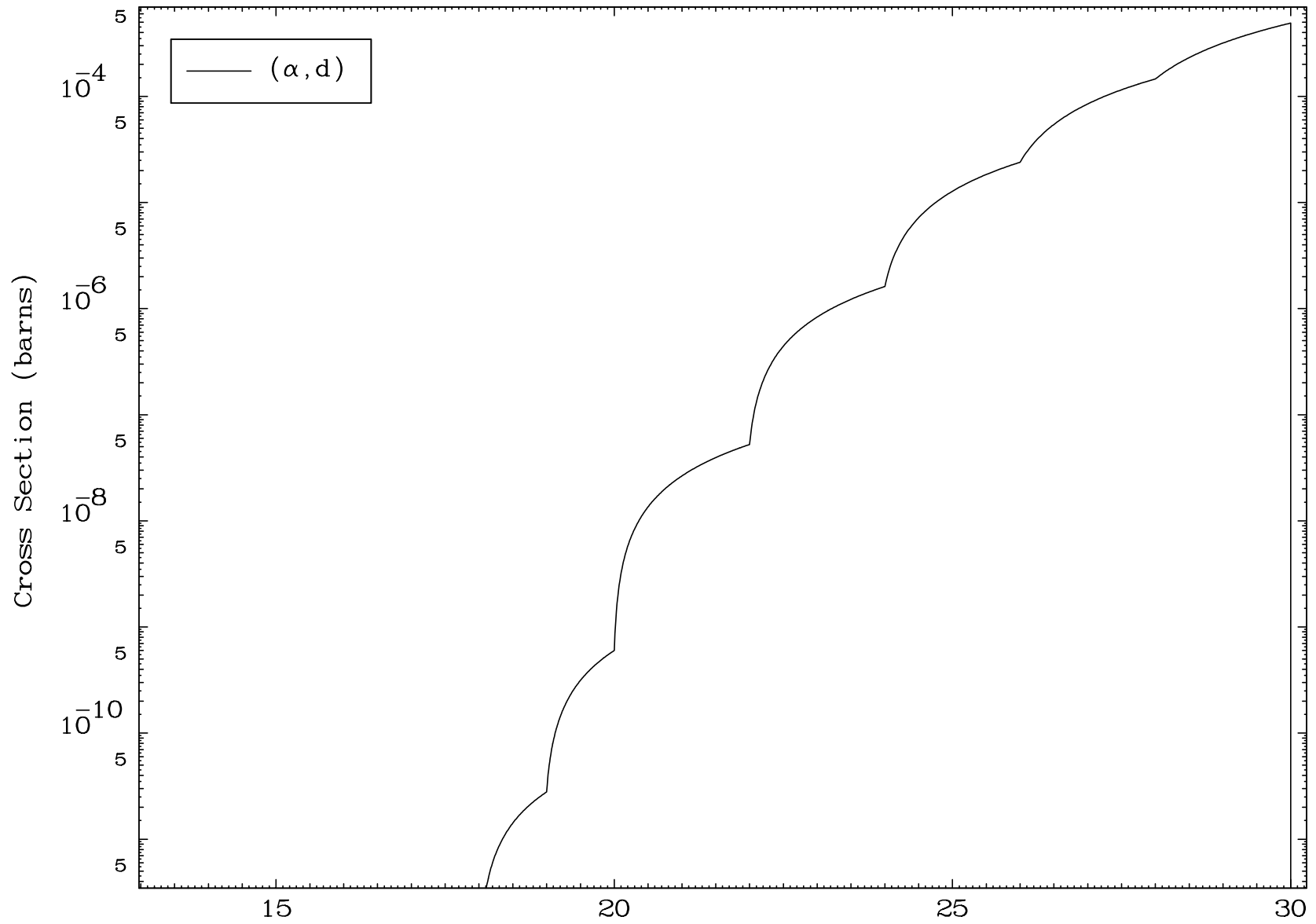


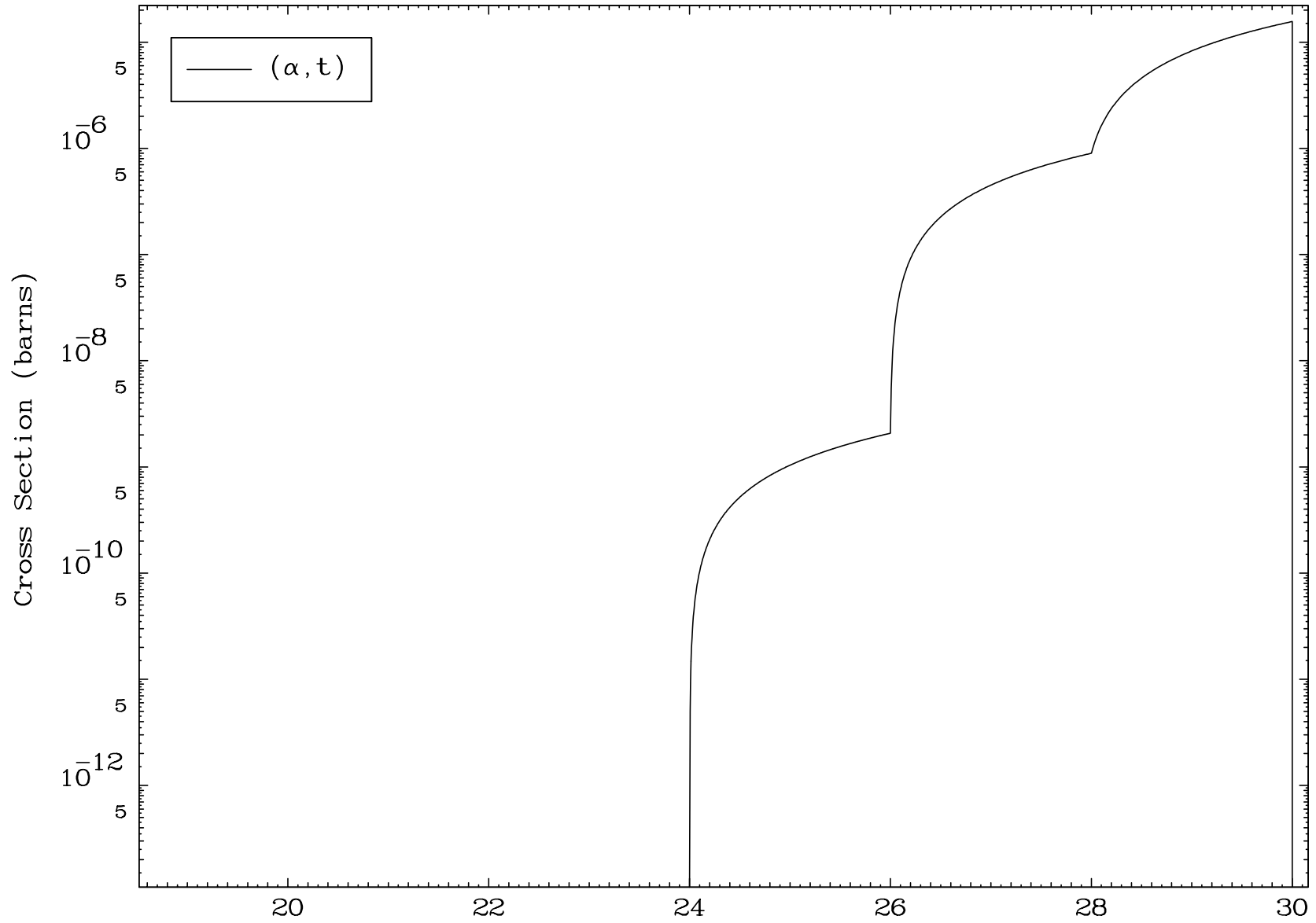
5

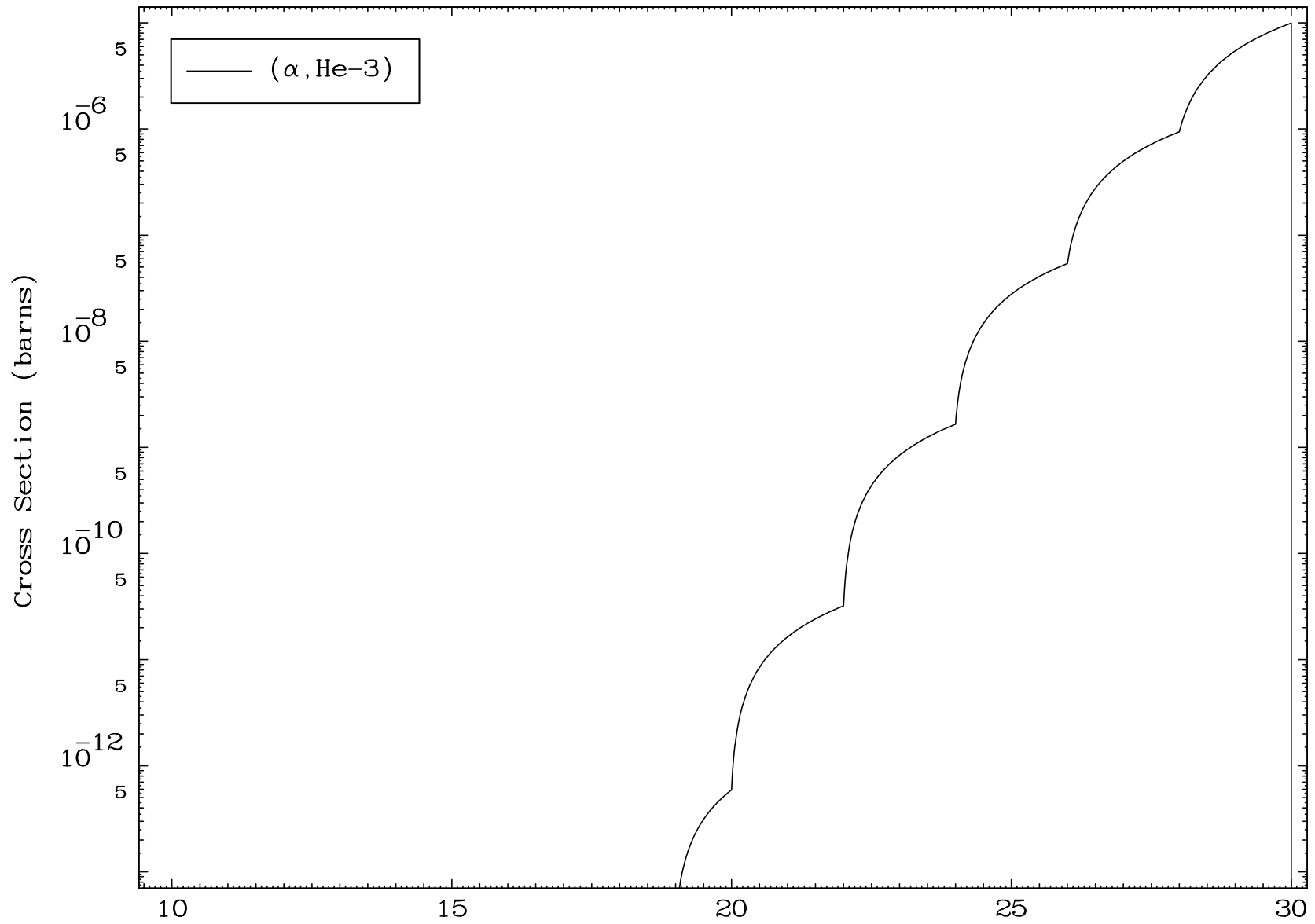
Incident Energy (MeV)

79-Au-176





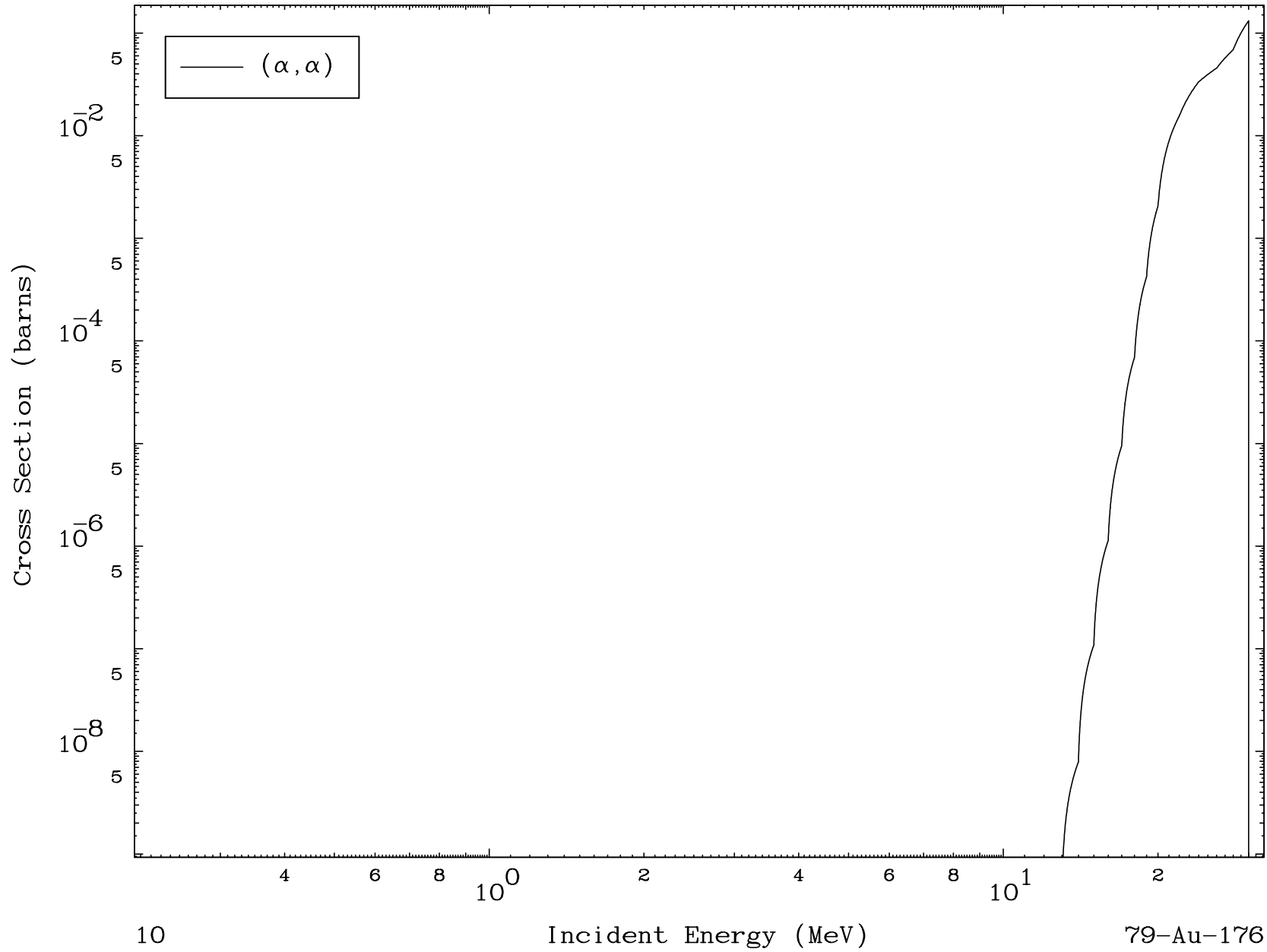




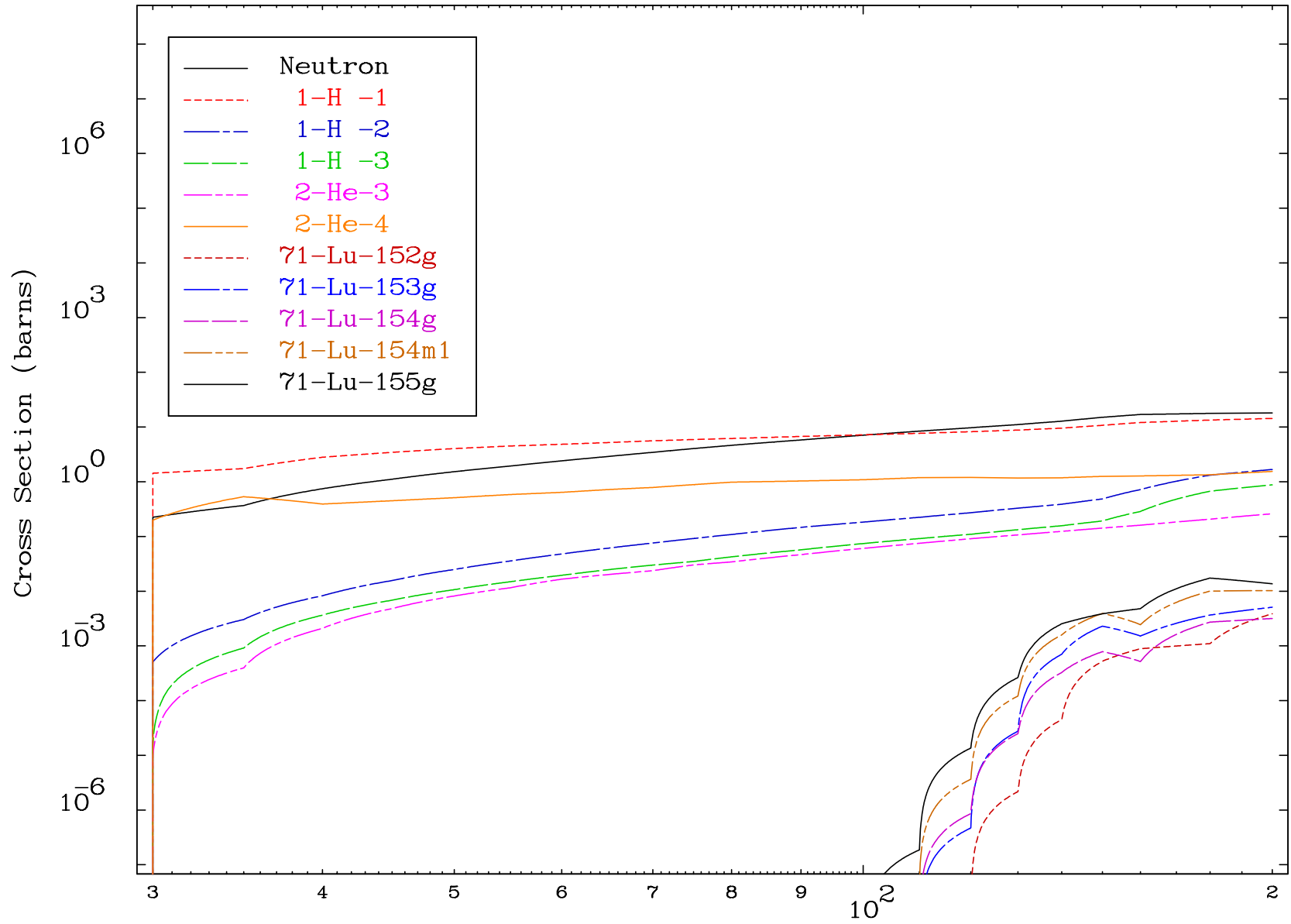
MAT 7862

(α, α) Levels
0 Kelvin Cross Sections

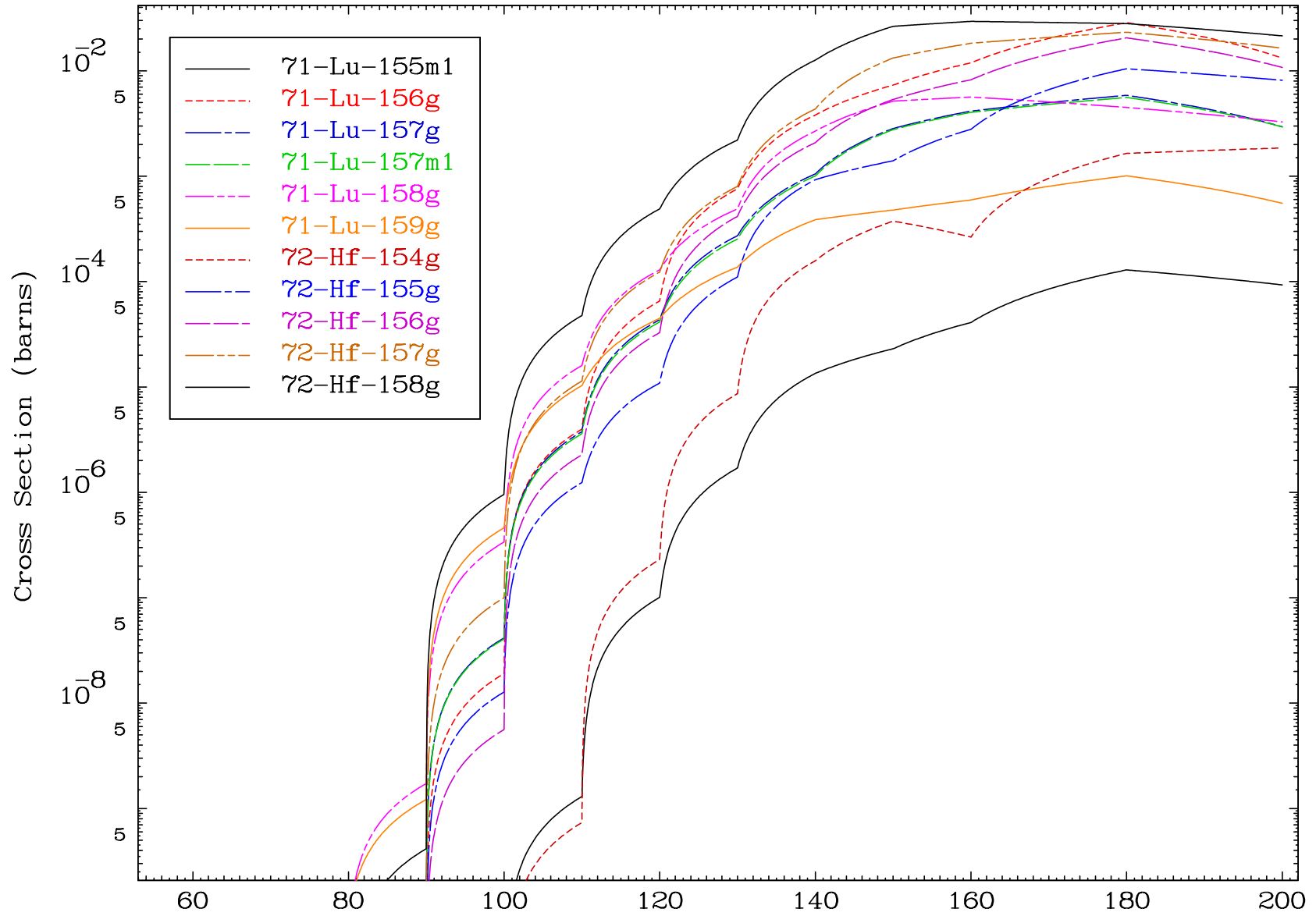
79-Au-176



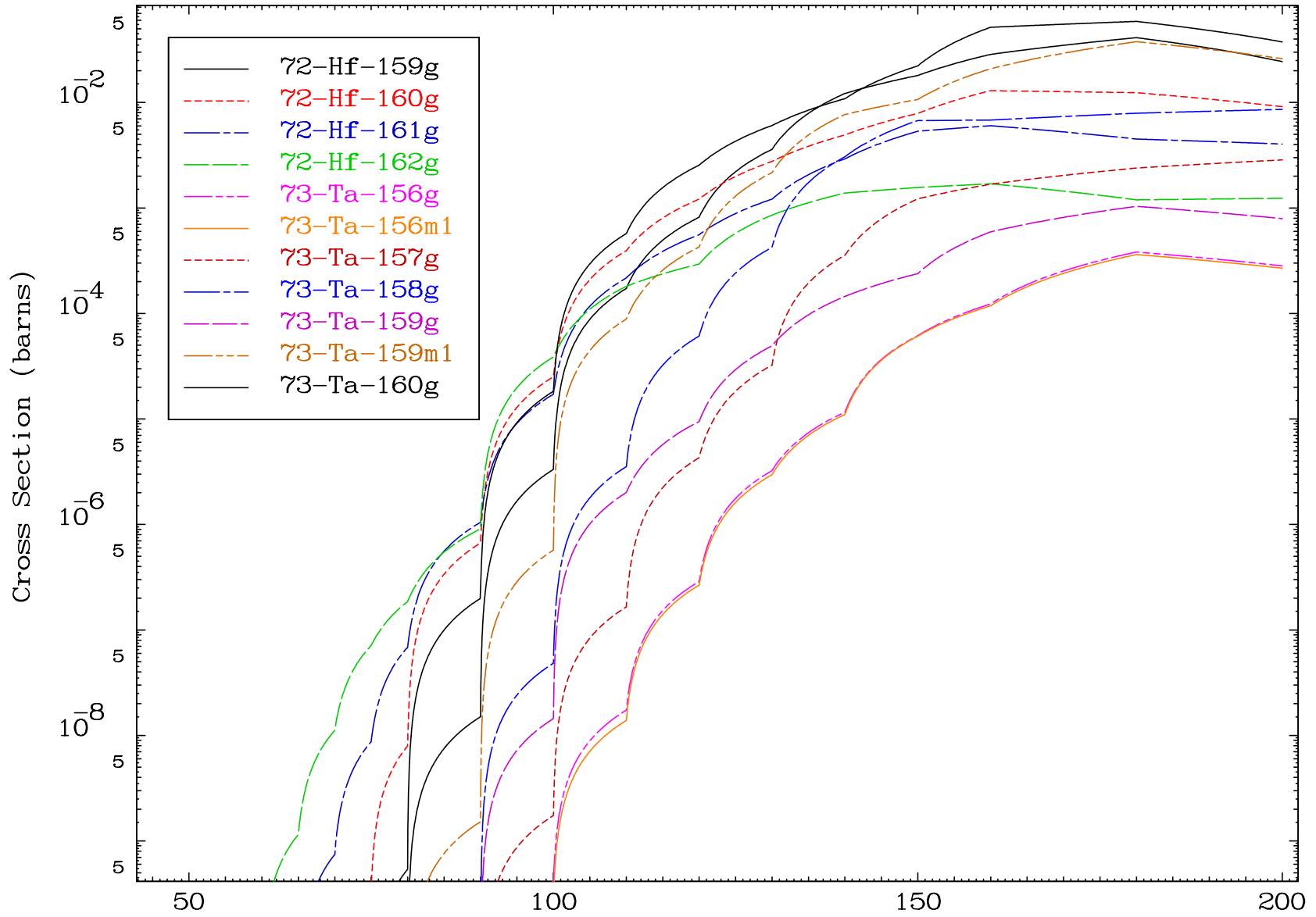
Radionuclide Production Cross Section



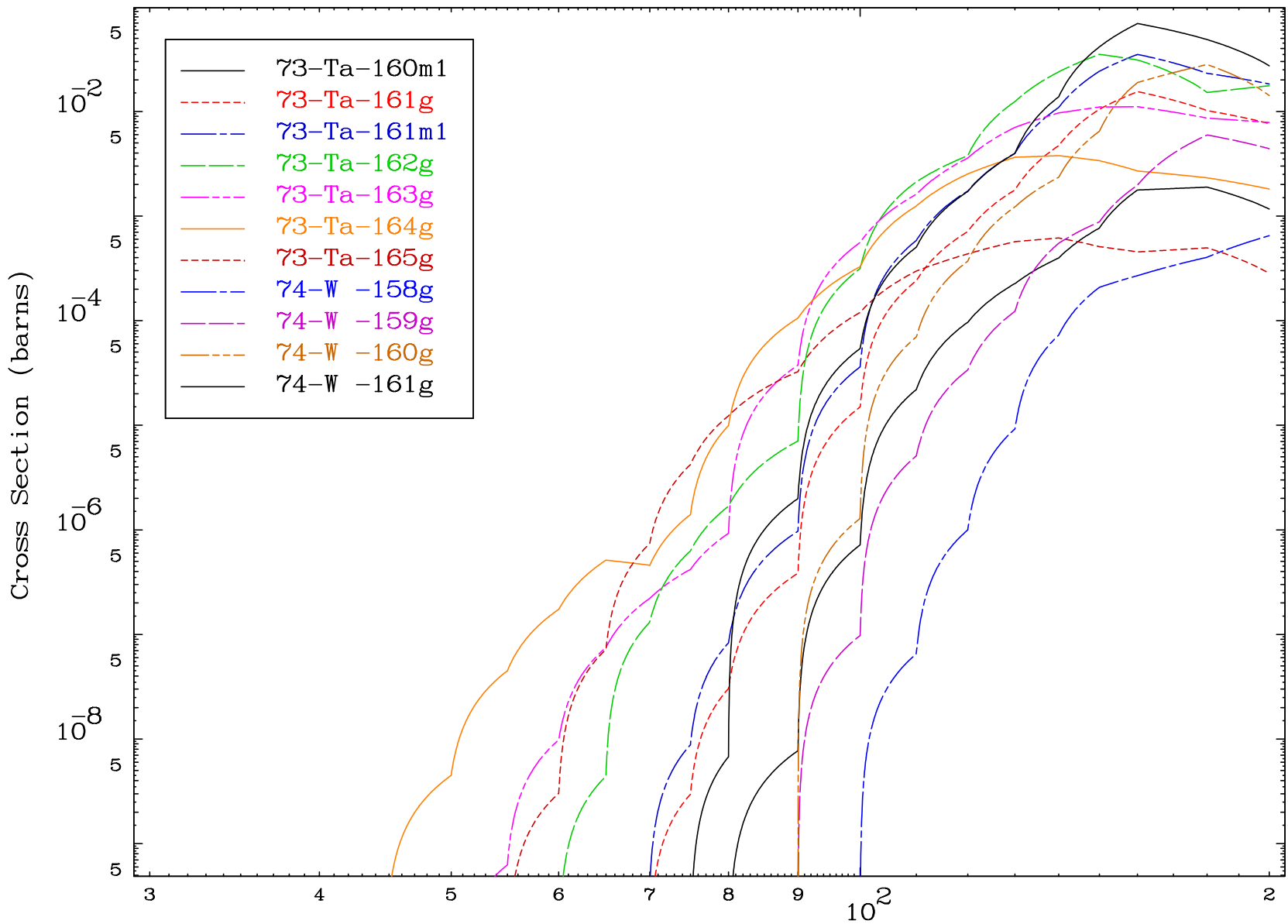
Radionuclide Production Cross Section



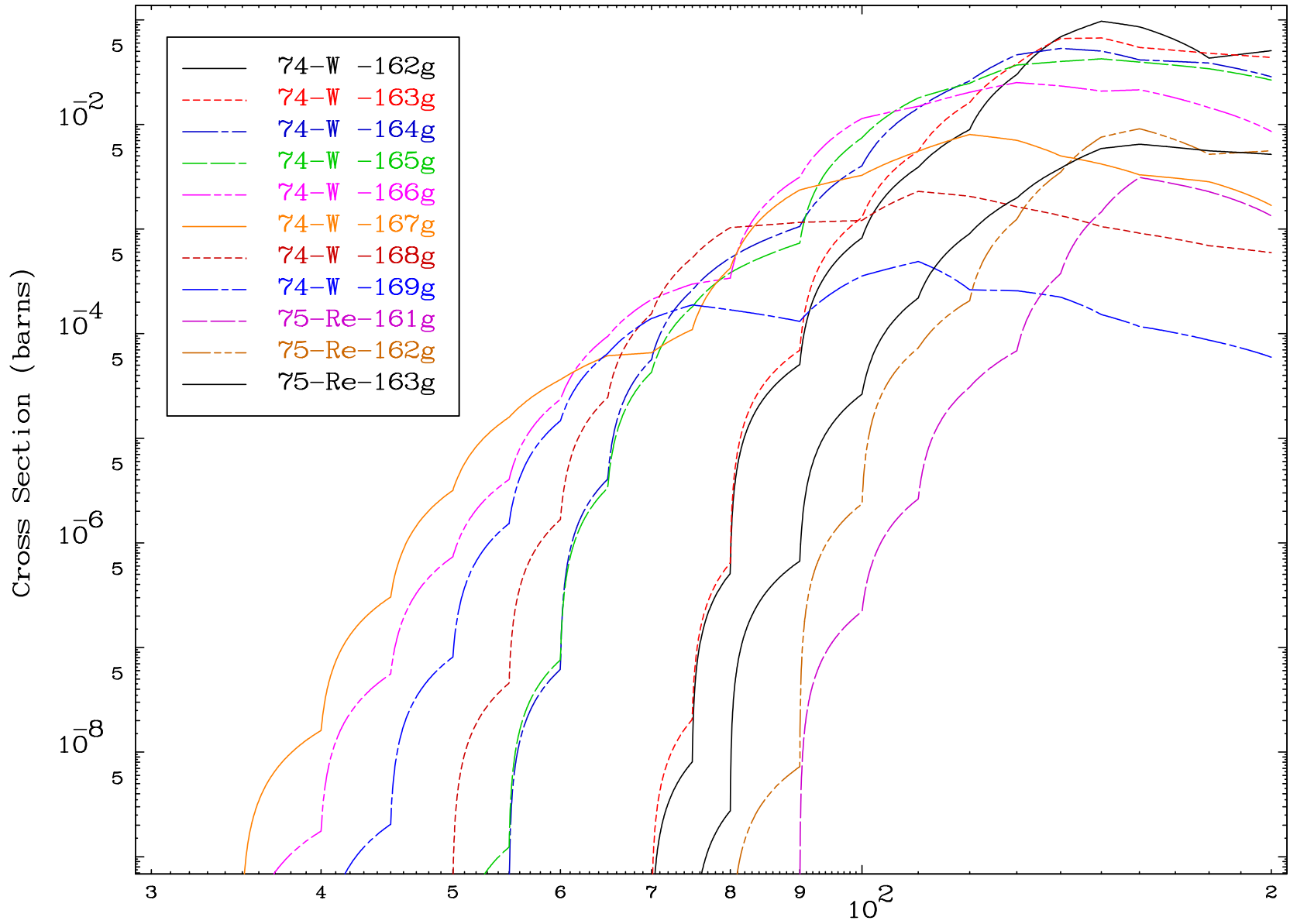
Radionuclide Production Cross Section

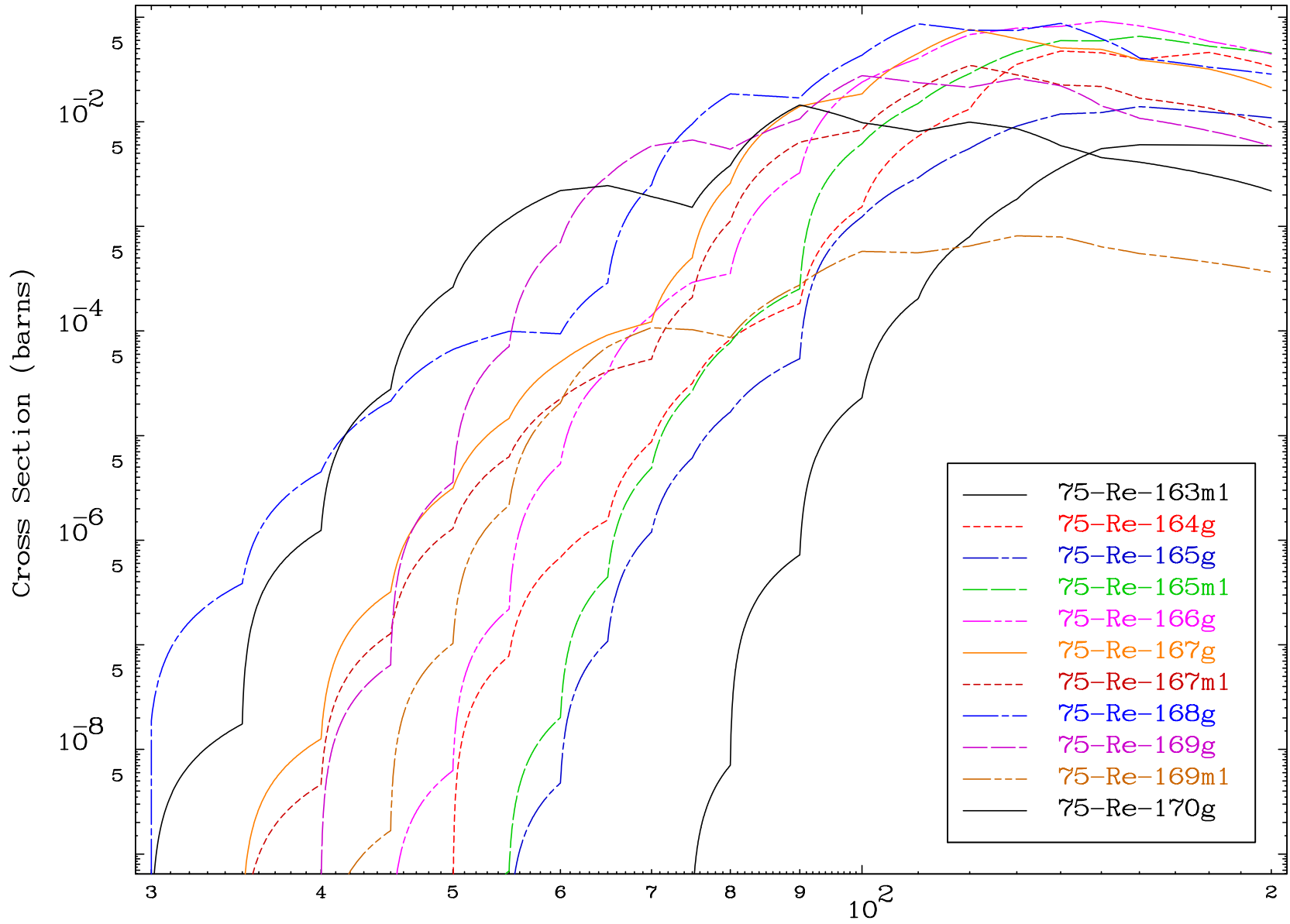


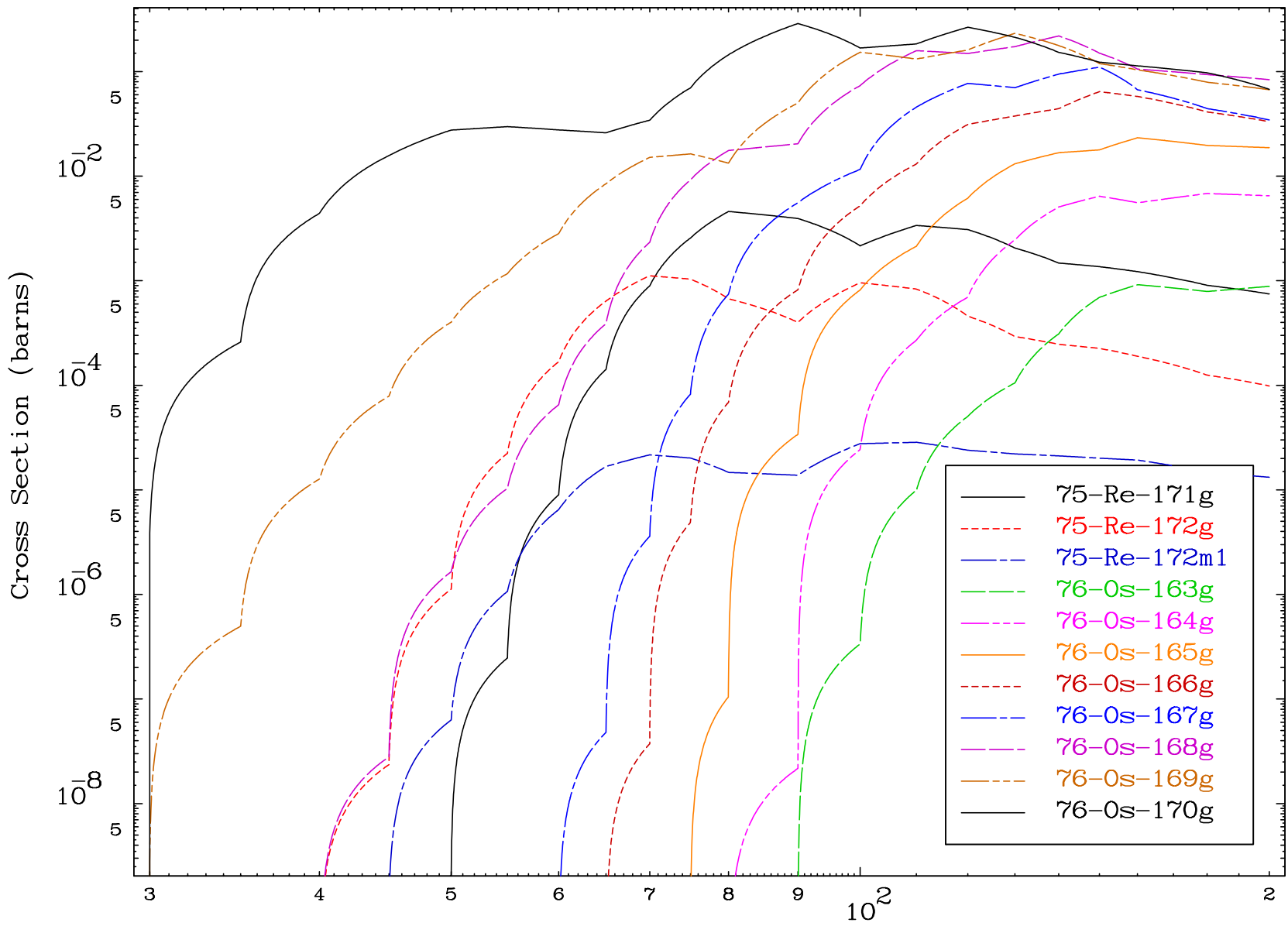
Radionuclide Production Cross Section



Radionuclide Production Cross Section



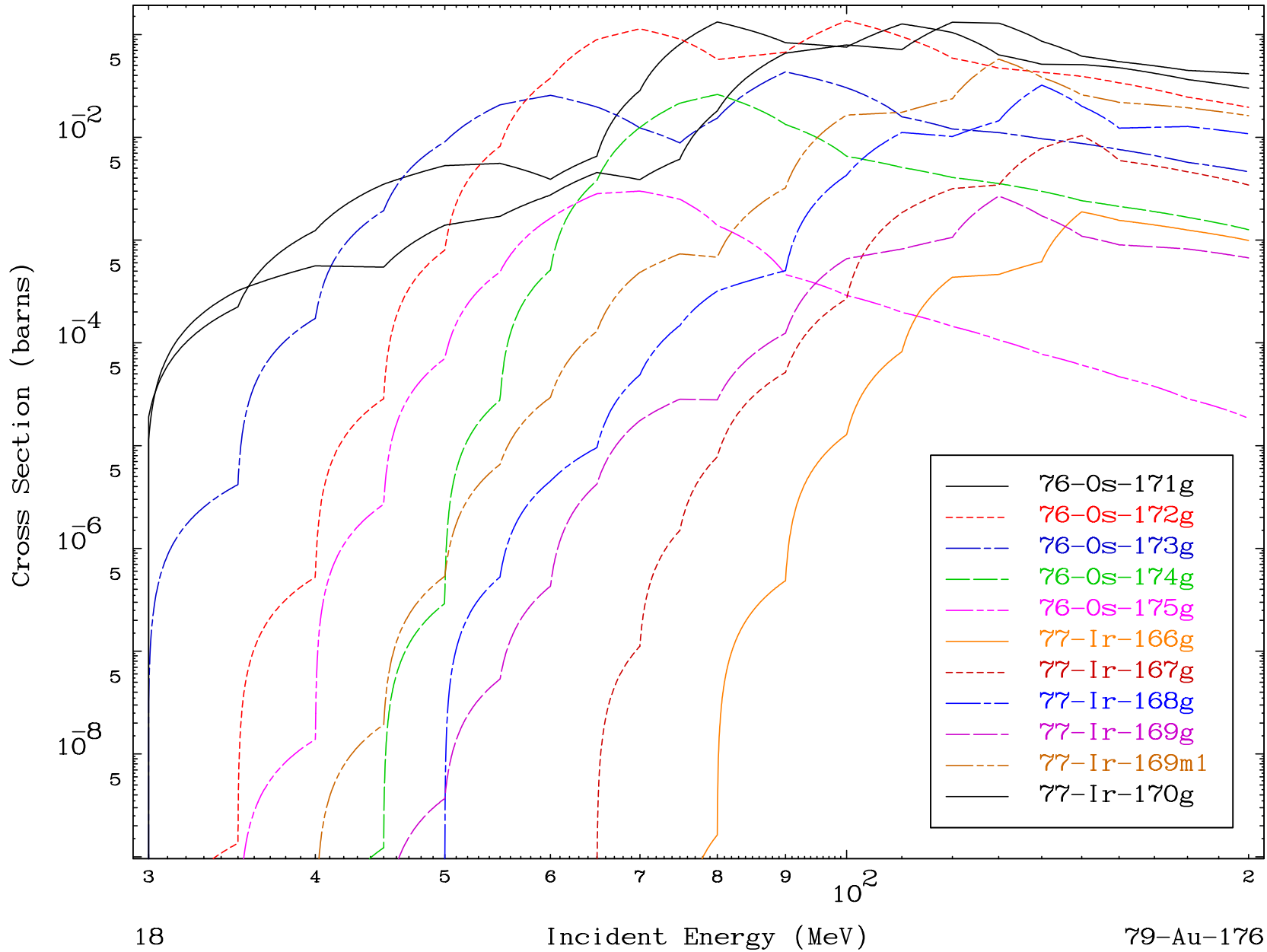


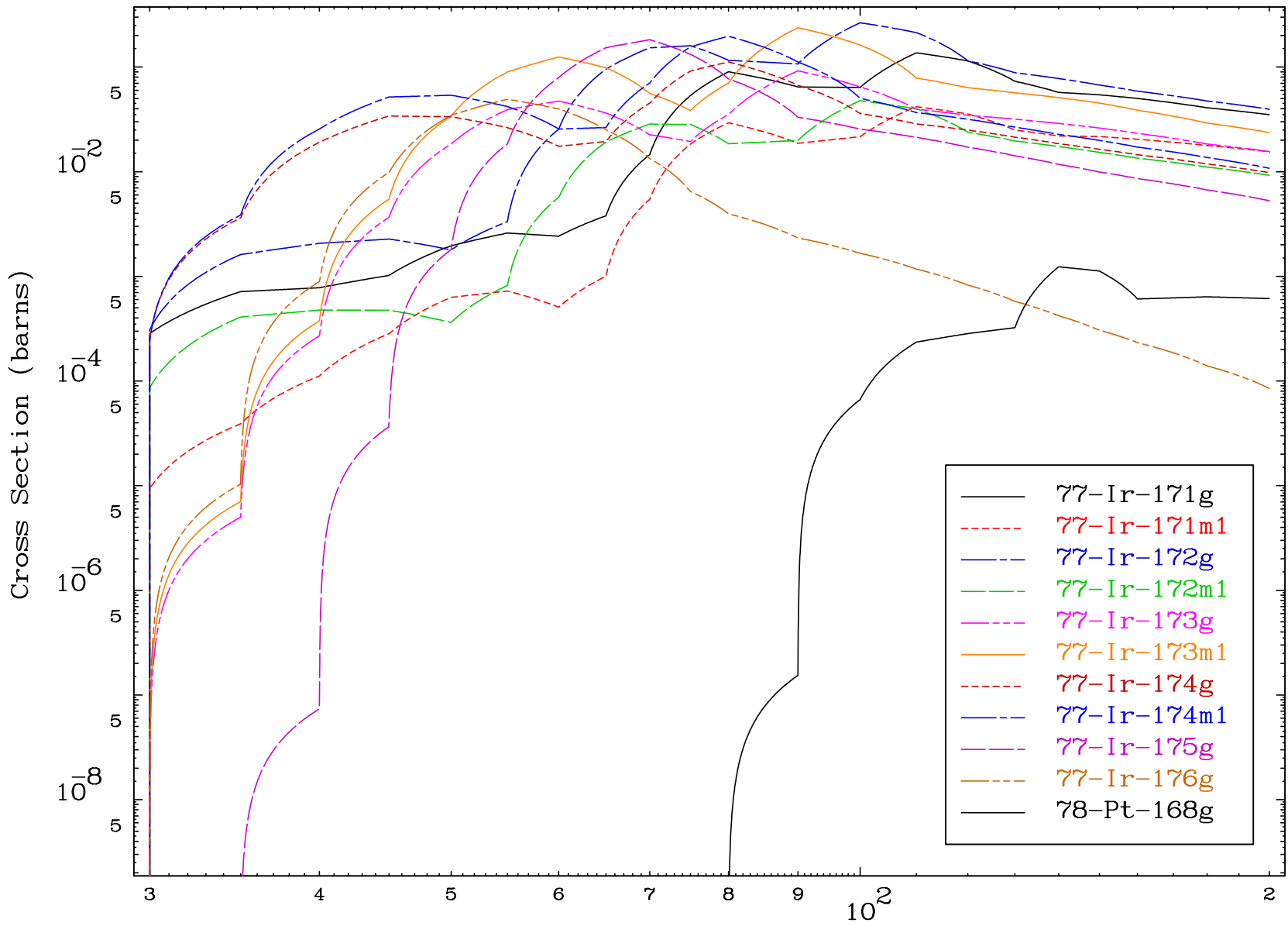


MAT 7862

(α , remainder)
Radionuclide Production Cross Section

79-Au-176



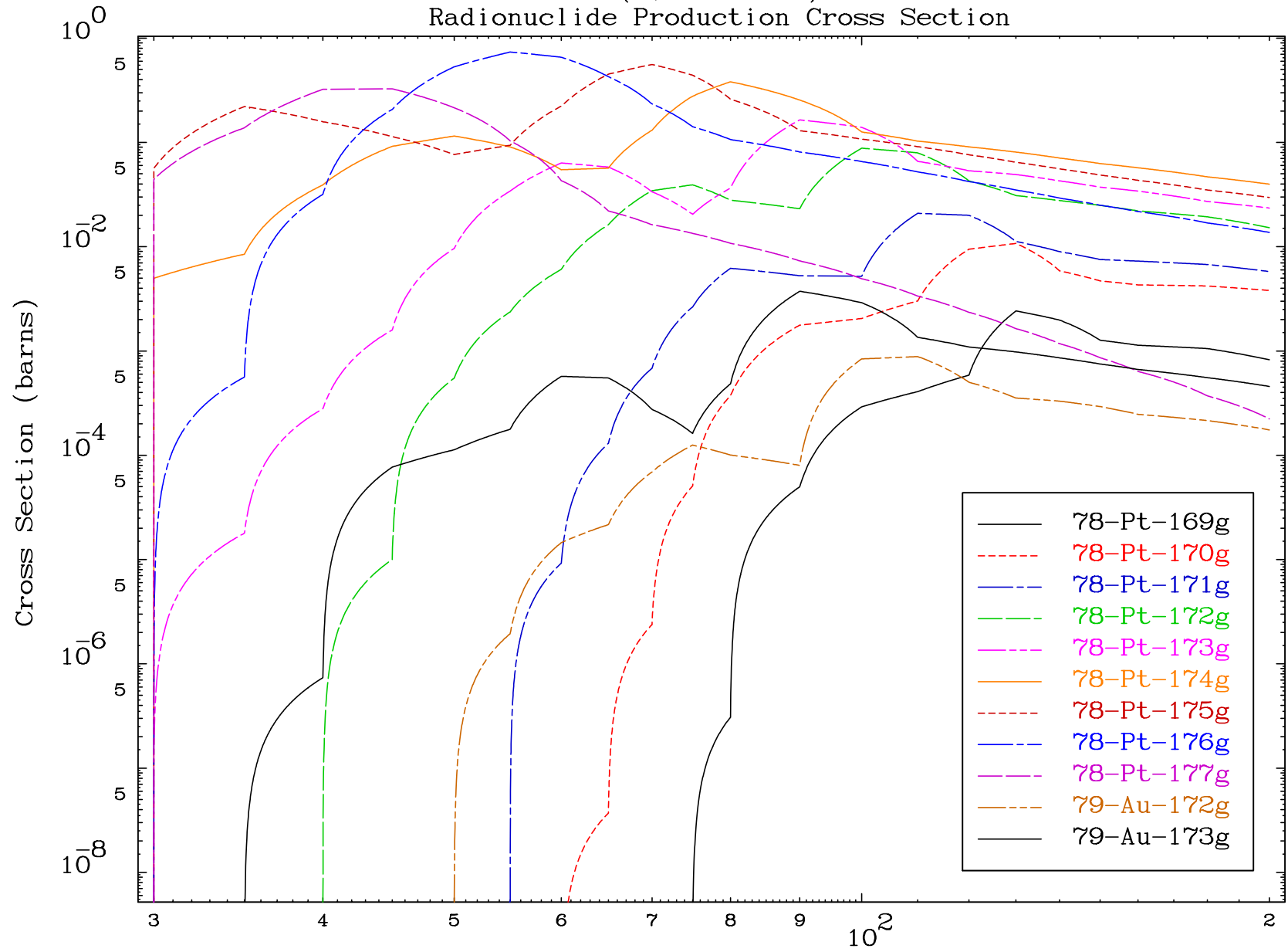


MAT 7862

(α , remainder)

79-Au-176

Radionuclide Production Cross Section

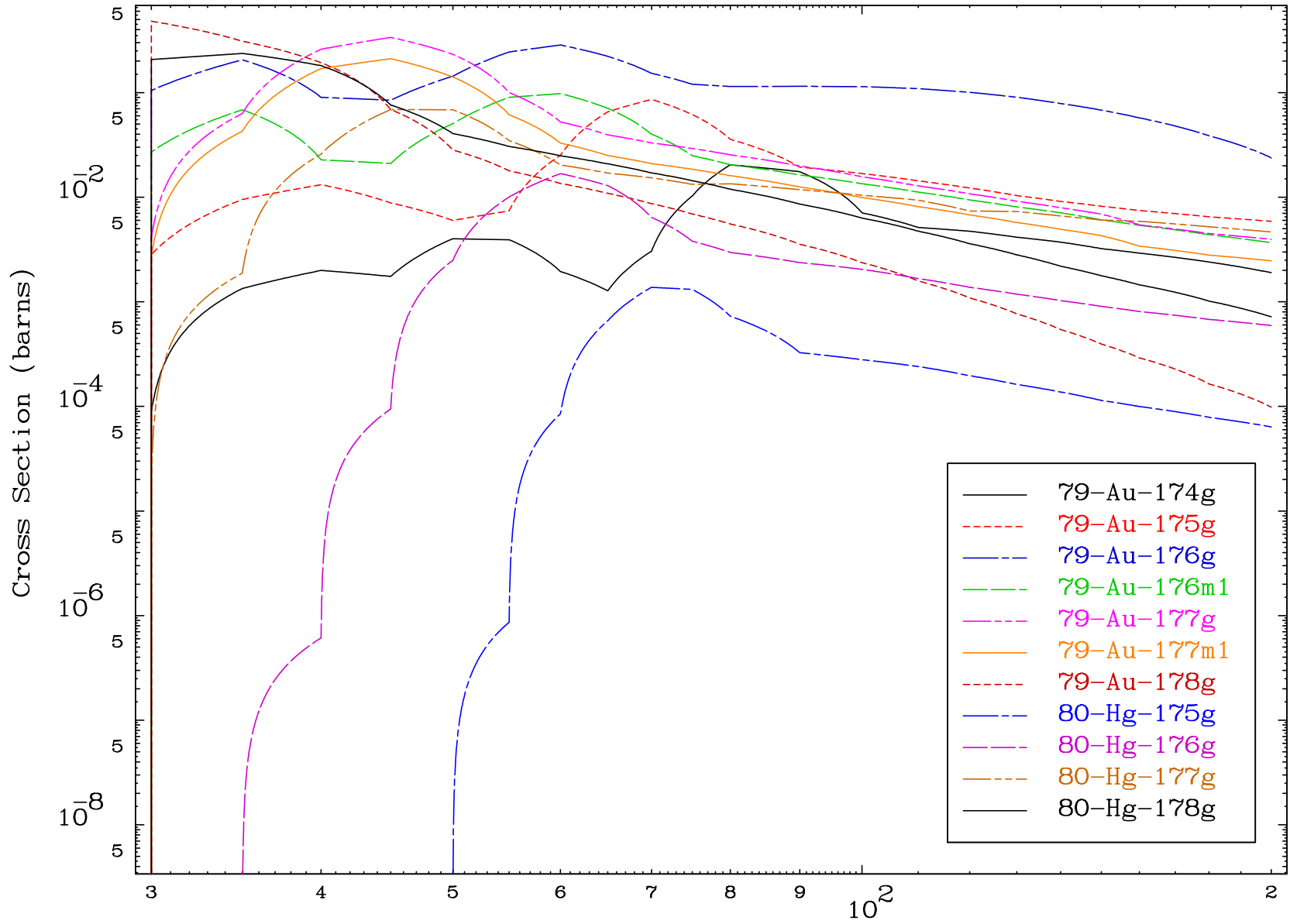


20

Incident Energy (MeV)

79-Au-176

Radionuclide Production Cross Section

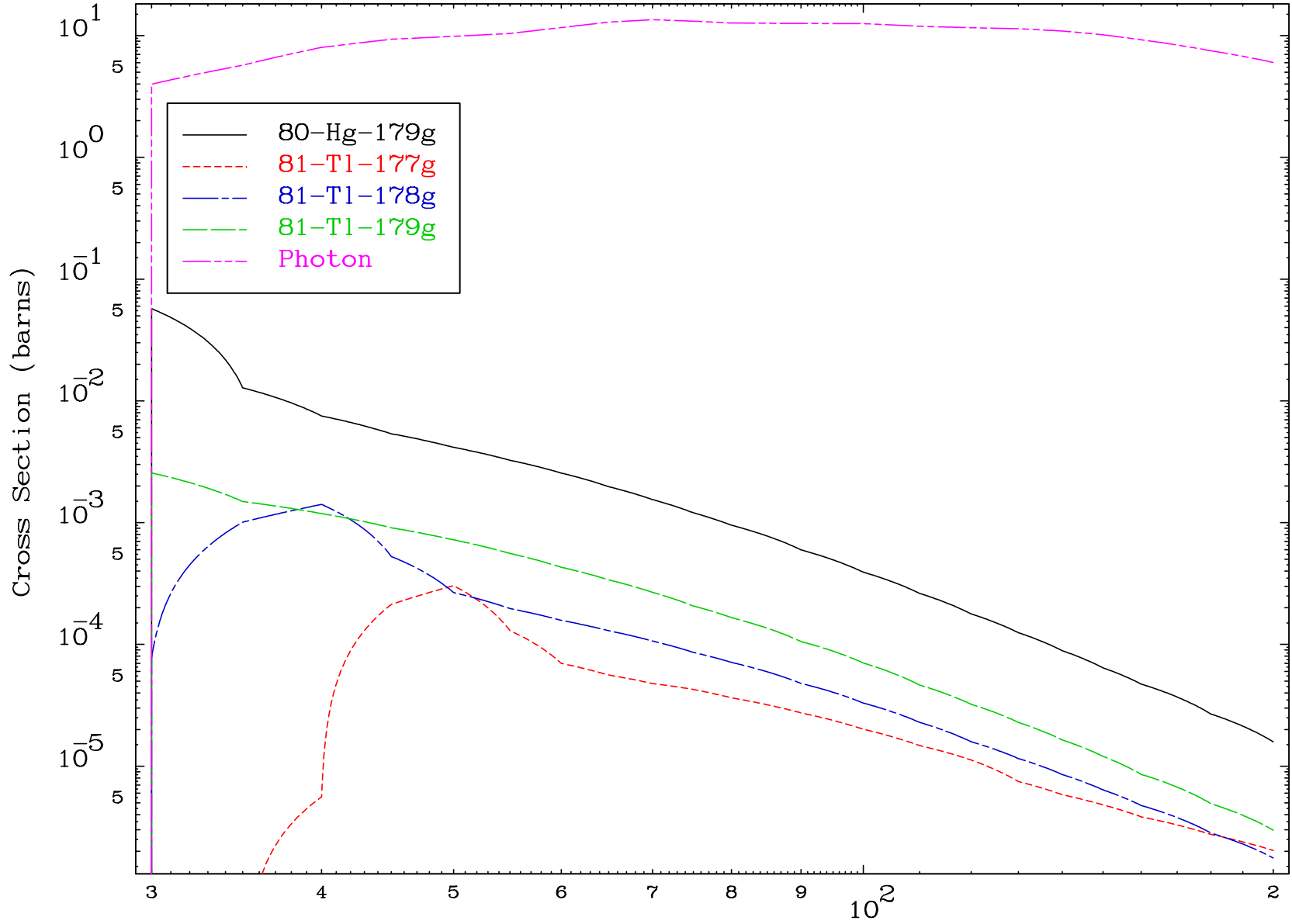


MAT 7862

(α , remainder)

79-Au-176

Radionuclide Production Cross Section



22

Incident Energy (MeV)

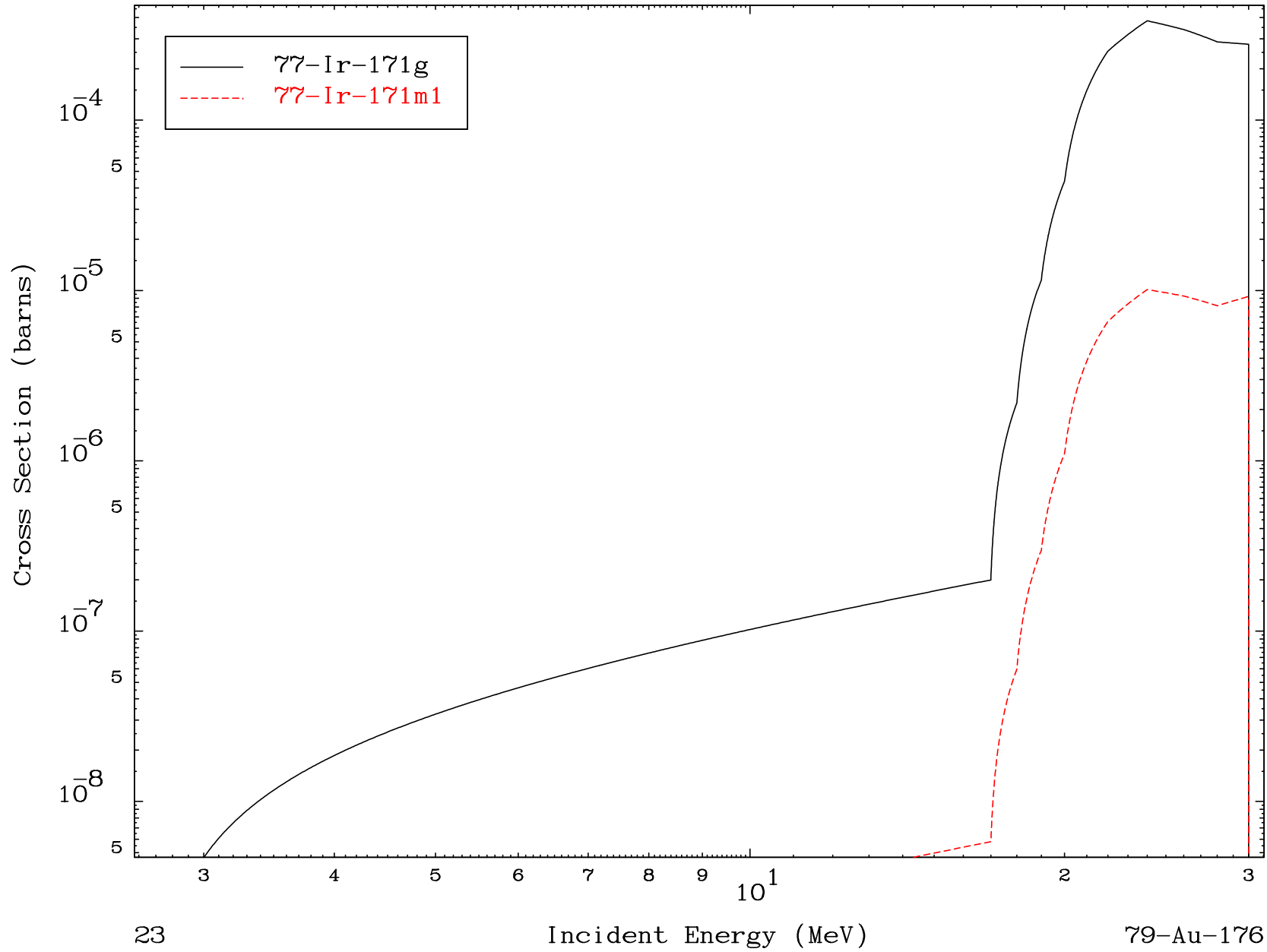
79-Au-176

MAT 7862

(α, n') 2α

79-Au-176

Radionuclide Production Cross Section



23

Incident Energy (MeV)

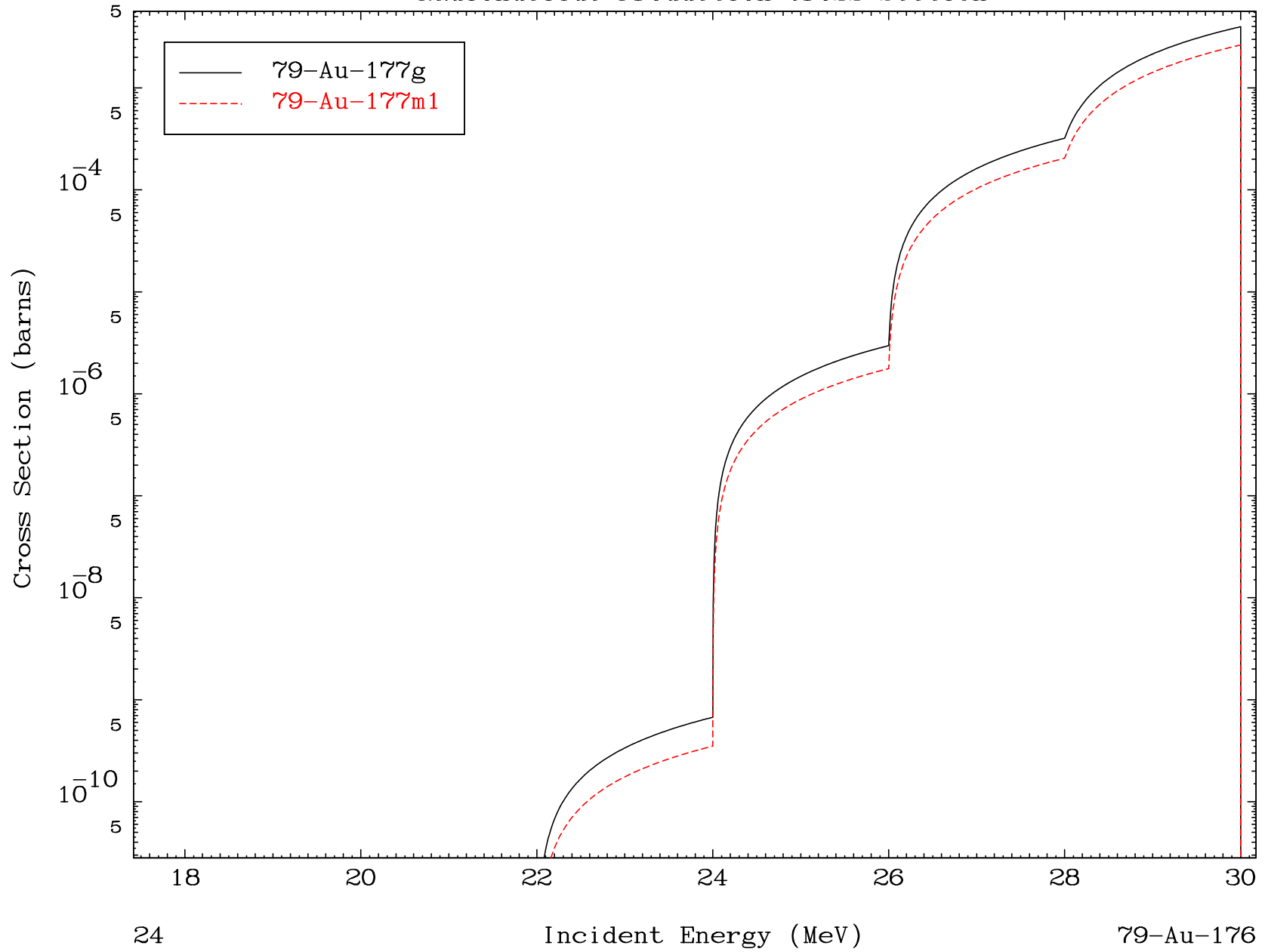
79-Au-176

MAT 7862

($\alpha, 2n$) p

79-Au-176

Radionuclide Production Cross Section

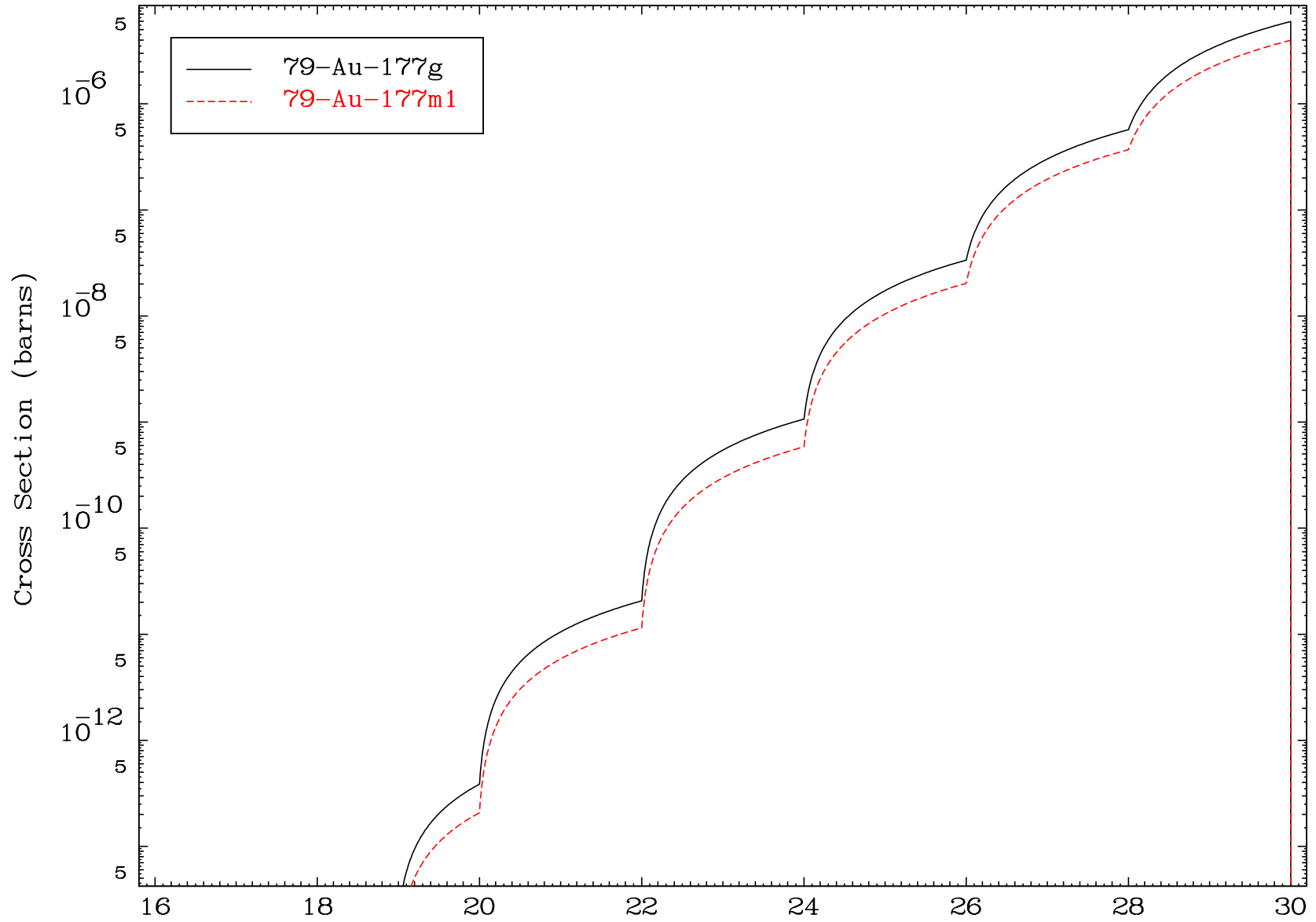


MAT 7862

($\alpha, \text{He-3}$)

79-Au-176

Radionuclide Production Cross Section

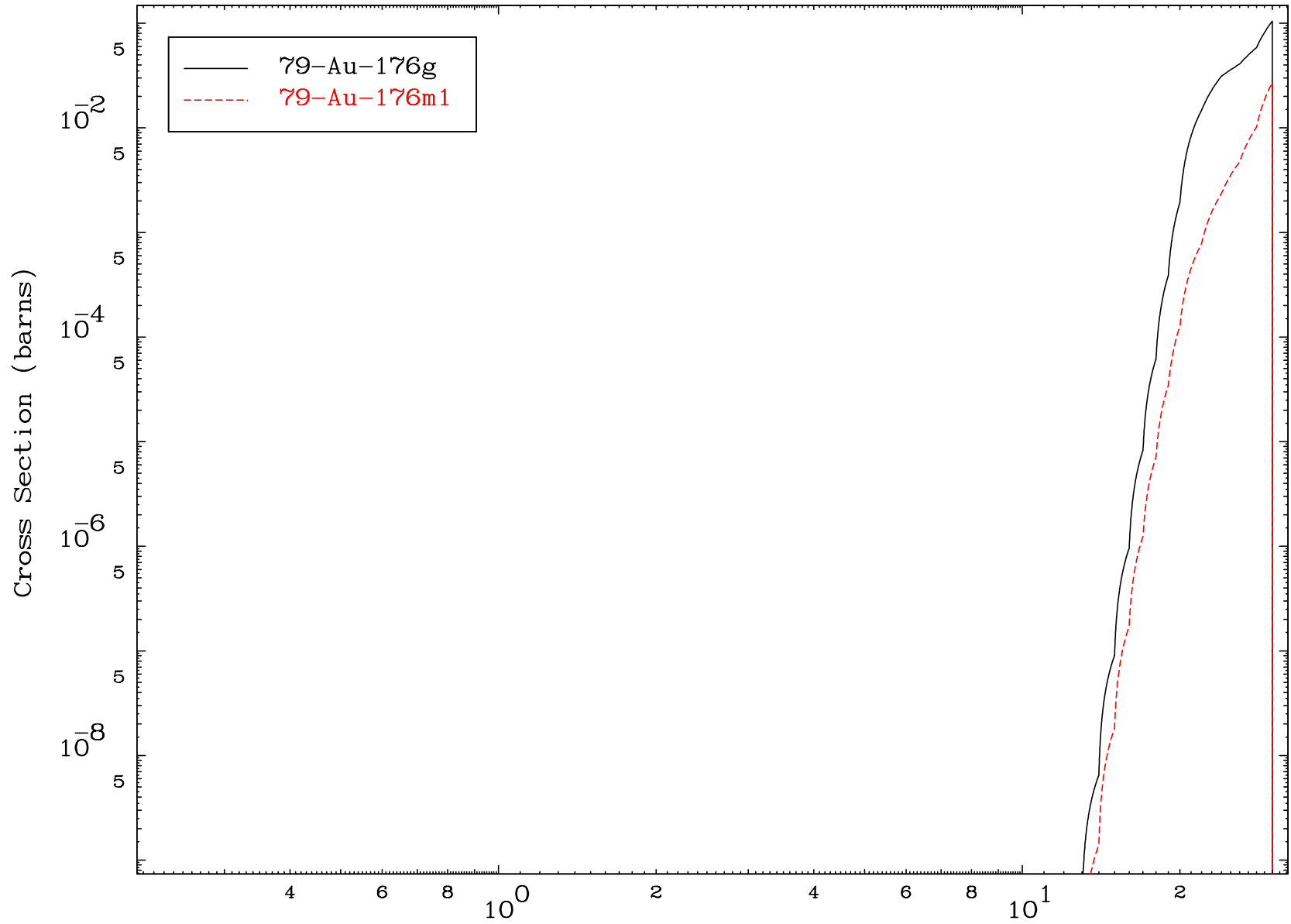


25

Incident Energy (MeV)

79-Au-176

Radionuclide Production Cross Section

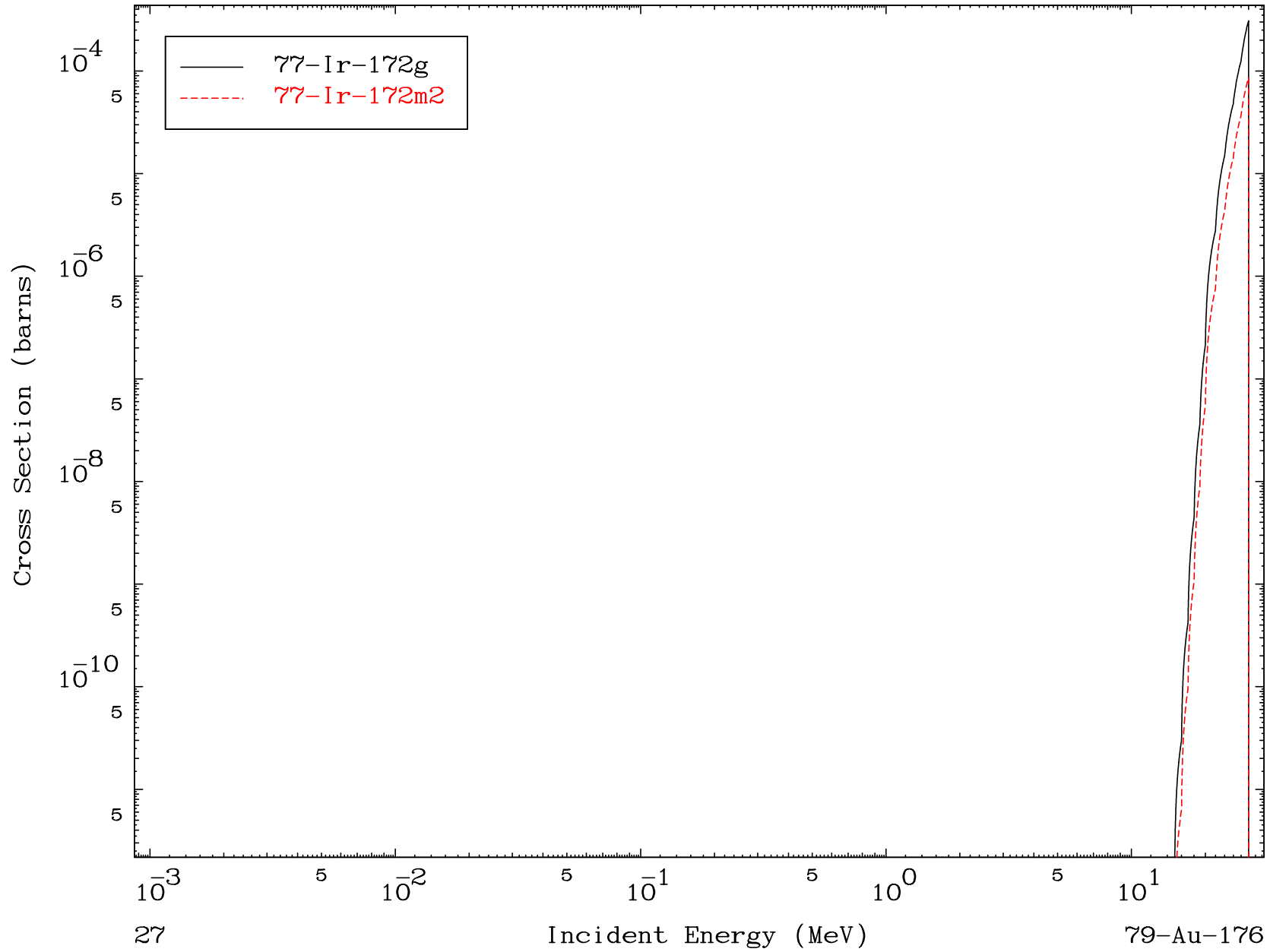


MAT 7862

($\alpha, 2\alpha$)

79-Au-176

Radionuclide Production Cross Section



MAT 7862

(α, p) d

79-Au-176

Radionuclide Production Cross Section

